

1分間交通量に基づく交通量分布モデルと渋滞割合の推定

九州大学工学部 学生員 渡辺 輝康  
九州大学工学部 正員 橋本 武  
九州大学工学部 正員 河野 雅也

1. はじめに 交通流現象を記述する諸特性には、交通量、交通密度、速度、車頭間隔等が挙げられるが、これら特性間にはある関係性が認められている。したがって、いずれか一つを基本変数として用いれば、他の特性の推定が可能となるが、著者らはデータの精度、観測の容易性、データの変動実態を精度よく反映させる観点より、1分間交通量を採用し、他の特性は、交通量に関する観測データにもとづく考察により推定されることとする。

したがって、交通量は、同じレベルでも渋滞と非渋滞という状態が存在するため、それらの判別と、渋滞率割合を明らかにせねばならない。例えば、渋滞率割合を $R_c$ 、渋滞車、非渋滞車の速度分布を $f_c(v)$ 、 $f_n(v)$ とすれば、実際の速度分布 $f(v)$ は、次式で示されるものである<sup>1)</sup>。

$$f(v) = R_c f_c(v) + (1 - R_c) f_n(v)$$

したがって、単に渋滞、非渋滞の交通特性を明らかにするのみならず、交通流において渋滞が発生しているかどうかの判別と、渋滞率割合をいかに推定するかが重要な課題であり、本研究の意図とここにある。

2. 渋滞率割合の定義 渋滞は、道路上が多くの車で混雑し、先づまり現象が発生するため、車両走行速度が低下することであり、従来の研究より、渋滞と非渋滞との間で境界速度が存在することが明らかにされている<sup>2)</sup>。この境界速度の決定を行うために、交通量 $Q$ と平均速度 $V$ との関係を示せば、図-1のとおりである。

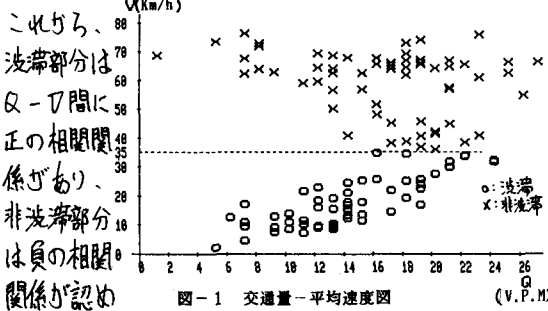


図-1 交通量-平均速度図

られる。この境界となる速度が35km/h近傍であり、従来の研究と概ね合致している<sup>3)</sup>。また、この時の交通量が24V.P.Mであり、1時間に換算すると約1400V.P.Hとなり、観測対象道路の交通容量にほぼ等しいといえる。よって本研究では、渋滞と非渋滞の境界速度として35km/hを採用し、それ以下の走行速度の車両を渋滞車、それ以上の走行速度の車両を非渋滞車とする。また、全車中に占る渋滞車台数を渋滞率割合と定義するものである。

3. 渋滞、非渋滞の判別 同一交通量レベルにおいて渋滞が発生する場合と発生しない場合との判別および渋滞率割合を求めるとき、交通量とその変化率に関する統計量を説明変数候補に選び、表-1の $X_1 \sim X_{12}$ を考慮することとする。表中の統計量 $X_1 \sim X_{12}$ は、次式により求められる前1分間交通量に対する現1分間交通量の差をなす、変化率に関する諸量であり、 $X_9 \sim X_{12}$ は、変化率の大きさのみを意味する諸量である。

表-1 統計量

X1 平均交通量	X7 交通量の差の歪度
X2 標準偏差	X8 交通量の差の尖度
X3 歪度	X9 交通量の差の絶対値の平均
X4 尖度	X10 交通量の差の絶対値の標準偏差
X5 交通量の差の平均	X11 交通量の差の絶対値の歪度
X6 交通量の差の標準偏差	X12 交通量の差の絶対値の尖度
	$R_c$ 渋滞割合

$$\Delta Q(t) = \frac{Q(t) - Q(t-1)}{t - (t-1)} = \frac{\Delta Q(t)}{\Delta t}$$

これらの統計量に関し、相関分析及びクラスター分析

を行って、この関係性を把握し分類した結果を図-2に示す。

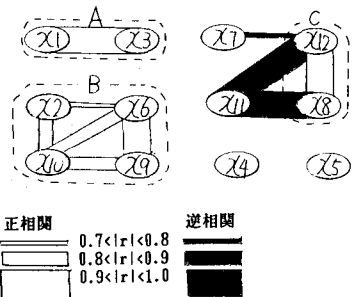


図-2 統計量の相関関係と分類

図より、 $X_1$ と $X_2$ と $X_3$ と $X_4$ と $X_5$ と $X_6$ と $X_7$ と $X_8$ と $X_9$ と $X_{10}$ と $X_{11}$ と $X_{12}$ と $R_c$ と

グループAを形成し、交通量の平均値と分布の対称性とが高い相関関係にあるといえる。また、グループBは交通量のばらつき( $\sigma_2$ )、変化率の大きさ( $\sigma_3$ )とばらつき( $\sigma_6, \sigma_{10}$ )で構成されている。一方、 $\sigma_7$ と $\sigma_8$ は変化率の平担性を意味し、正の相関関係にあり、これらと変化率の対称性を意味する $\sigma_1, \sigma_4$ が負の相関関係にある。さらに、 $\sigma_4$ と $\sigma_5$ はいずれの諸量とも相関が低く、独立である。

諸量中、渋滞が発生する場合と発生しない場合とで特に値が明確に異なるのはグループBである。これらと交通量の大きさ $\sigma_1$ との組み合わせによるデータの分布状況を

調べ、渋滞部と非渋滞部の分布状況が最も異なる組み合わせを見出し、検討すれば、結局、 $\sigma_1, \sigma_2, \sigma_9$ が渋滞車の有無を説明する変数として抽出できる(図-3, 4)。そこで、 $\sigma_1, \sigma_2, \sigma_9$ を用いた判別関数 $R_c$ を求めれば、次式のとおりである。なお、定式化に当っては、分散共分散が必ずしも等しくないことを配慮した。

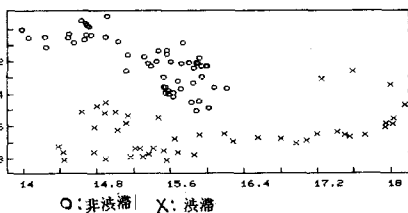


図-3 平均交通量-交通量の差の絶対値の平均図

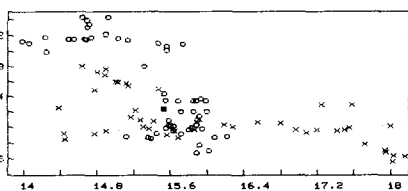


図-4 平均交通量-標準偏差図

$$H = 0.63(\sigma_9 - 211)^2 + 4.84(\sigma_1 - 18.1)^2 - 27.59(\sigma_1 + 17.2)^2 - 472.54$$

本モデルは、交通量の大きさ $\sigma_1$ とばらつき、および変化率の大きさにより、簡単に渋滞車の有無を判別するものであるが、用いたシングルに関しては、適中率が100%という高精度の結果であった。

4. 渋滞車割合の推定式 交通量分布中に渋滞が発生している場合に、渋滞車割合を推定するため、まず、前述の表-1に示す諸量について渋滞車を含む交通量の諸データを用いて、相互の関係性を把握し分類した結果が図-5である。これら諸量のうち、( $\sigma_1, \sigma_3, \sigma_9$ ),

( $\sigma_6, \sigma_7, \sigma_{10}$ )でそれぞれこのグループを形成している。また、 $\sigma_1, \sigma_4$ で正の相関関係にある

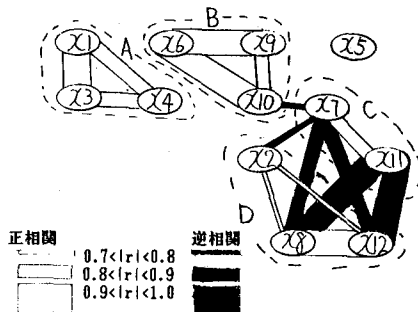


図-5 渋滞における統計量の相関関係と分類

るグループが形成され、 $\sigma_2, \sigma_8, \sigma_{12}$ で互いに正の相関関係にあり、( $\sigma_1, \sigma_{11}$ )と負の相関関係にあるグループが形成されている。 $\sigma_5$ はいずれの諸量とも相関が低く、独立である。

以上から、渋滞車割合 $R_c$ を推定するに際し、まずはこれと最も相関の高いグループである $\sigma_1, \sigma_3, \sigma_9$ より一つを選ぶことが望まれる。 $\sigma_3, \sigma_9$ は期待値まわりの3次, 4次の積率であること、また、 $R_c$ と $\sigma_1$ がこれら諸量中、最も相関が高いことを考慮し、ここでは $\sigma_1$ を選ぶこととする。また、渋滞時において、道路上は多くの車で混雑しており、交通量の変化の大きさは渋滞が進展するに従い低下してゆく。この点を説明するものとして、 $\sigma_2, \sigma_7$ が考えられるが、 $\sigma_2$ は先に述べるように独立な変数であるものの、 $R_c$ とは相関が低い。一方、 $\sigma_7$ は残りの変数中、 $R_c$ と最も相関が高く、説明変数となりうるものと考えらる。

以上の考察から、平均交通量 $\sigma_1$ 、交通量の差の絶対値の平均を用いた渋滞車割合 $R_c$ の推定式を求めれば、次のとおりである。

$$R_c = -0.16238\sigma_1 - 0.14408\sigma_9 + 3.86426$$

本モデルの重相関係数は0.982、R.M.S誤差は0.044であり、渋滞車割合の推定式として、十分な精度を有するといえる。

#### 参考文献

- 1) 田村・樽木: 道路交通流の速度分布について, 才38 国土学会年講 才4部講演概要集, 1983.
- 2) 岩崎: 渋滞時交通流の性質, 交通工学, 1979.
- 3) 交通工学研究会: 交通工学ハンドブック, pp103~ pp321.